

Misure di Densità

Gruppo di lavoro A-1-3-2

Marco RICCI (m. 641084) m.ricci66@studenti.unipi.it
Martino BARBIERI (m. 640522) m.barbieri20@studenti.unipi.it

UniPi - Laboratorio di Fisica 1 - a.a. 2021-2022
Docente: Prof. Luca Baldini

1 Introduzione

Sappiamo che una quantità fissata di qualunque sostanza o materiale occupa un volume che varia soltanto se variano le condizioni in cui tale sostanza o materiale si trova (ad esempio se dovesse passare dallo stato solido allo stato liquido, o se cambiano la temperatura o la pressione). La massa m per unità di volume V è nota come densità:

$$\rho = \frac{m}{V}$$

1.1 Obiettivo

Il fine di questa esperienza è verificare se la densità di diversi oggetti composti dal medesimo materiale possa essere considerata costante, individuare tale valore e identificare le differenze di densità sulla base delle differenze dei materiali; infine confrontare le densità trovate con i valori aspettati.

1.2 Materiale utilizzato

1. Calibro ventesimale
2. Calibro cinquantesimale
3. Calibro Palmer (risoluzione 0.01 mm)
4. Bilancia di precisione (risoluzione 1 mg)
5. Alcuni solidi in alluminio, acciaio e ottone

2 Raccolta dati

2.1 Accorgimenti

2.1.1 Calcolo del volume

I solidi potrebbero non essere regolari. Per il prisma misuriamo distanze di lati e spigoli opposti della base; per i parallelepipedi misuriamo i tre spigoli¹; per i cilindri misuriamo altezza e diametri lungo due direzioni perpendicolari; per le sfere misuriamo tre diametri perpendicolari.

Eseguiamo ciascuna misura con tutti i tre calibri a nostra disposizione, in modo da valutare quanto la sensibilità degli strumenti influenza il risultato.

Segnaliamo che abbiamo misurato un errore di zero del calibro Palmer di 0.003 mm.

¹a livello operativo misuriamo le distanze tra facce opposte

2.1.2 Misura della massa

Usiamo una bilancia molto precisa; essa potrebbe avere risposte diverse attorno a punti di equilibrio diversi; per assicurarci che questo non influisca sulle misure, effettuiamo le misure delle masse poggiando i solidi prima direttamente sul piatto della bilancia e successivamente in un contenitore, tarando la bilancia prima di effettuare le misure. La bilancia è molto sensibile: notiamo che solo camminare in prossimità dell'armadio che la sorregge oppure parlare altera la misura; cerchiamo di limitare queste interferenze. Tarriamo la bilancia frequentemente ond'evitare "effetti memoria".

2.2 Misure

Nelle seguenti tabelle, accanto al nome di ciascuna colonna, è indicata la sensibilità dello strumento usato. Quando non diversamente specificato, adottiamo come incertezza tale valore diviso per $\sqrt{12}$, adottando l'ipotesi di probabilità uniforme.

2.2.1 Sferette d'acciaio

Per ciascuna sfera riportiamo il diametro medio misurato col calibro ventesimale d_{20} , col calibro cinquantesimale d_{50} e col calibro Palmer d_P , le masse misurate poggiando il solido direttamente sul piatto m_d e nel contenitore m_c .

Sfera	$d_{20}[\pm 0.005 \text{ cm}]$	$d_{50}[\pm 0.002 \text{ cm}]$	$d_P[\pm 0.001 \text{ cm}]$	$m_d[\pm 0.001 \text{ g}]$	$m_c[\pm 0.001 \text{ g}]$
1	1.430	1.430	1.430	11.879	11.880
2	1.430	1.430	1.430	11.899	11.902
3	1.667	1.666	1.667	18.907	18.909
4	1.825	1.818	1.827	24.835	24.837
5	2.223	2.220	2.225	44.828	44.828

2.2.2 Prisma a base esagonale di ottone

Riportiamo l'altezza h , le distanze tra lati opposti d_l , le distanze tra angoli opposti d_v e le masse con la medesima indicizzazione già usata.

	$x_{20}[\pm 0.005 \text{ cm}]$	$x_{50}[\pm 0.002 \text{ cm}]$	$x_P[\pm 0.001 \text{ cm}]$		
h	2.275	2.270	2.273		
d_{l1}	0.995	0.988	0.994		
d_{l2}	0.995	0.988	0.996	$m_d[\pm 0.001 \text{ g}]$	$m_c[\pm 0.001 \text{ g}]$
d_{l3}	0.995	0.988	0.996	16.424	16.425
d_{v1}	1.135	1.136	1.139		
d_{v2}	1.137	1.137	1.138		
d_{v3}	1.135	1.134	1.137		

2.2.3 Parallelepipedi di ottone e alluminio

Riportiamo l'altezza h , i due lati della sezione l_1 , l_2 e le masse con la medesima indicizzazione già usata.

Ottone	$x_{20}[\pm 0.005 \text{ cm}]$	$x_{50}[\pm 0.002 \text{ cm}]$	$x_P[\pm 0.001 \text{ cm}]$	$m_d[\pm 0.001 \text{ g}]$	$m_c[\pm 0.001 \text{ g}]$
h	4.150	4.148	–	34.737	34.738
l_1	0.995	1.000	0.996		
l_2	0.995	1.000	0.998		
Alluminio 1	$x_{20}[\pm 0.005 \text{ cm}]$	$x_{50}[\pm 0.002 \text{ cm}]$	$x_P[\pm 0.001 \text{ cm}]$	$m_d[\pm 0.001 \text{ g}]$	$m_c[\pm 0.001 \text{ g}]$
h	0.815	0.810	–	8.015	8.016
l_1	1.835	1.834	1.834		
l_2	2.010	2.010	2.008		
Alluminio 2	$x_{20}[\pm 0.005 \text{ cm}]$	$x_{50}[\pm 0.002 \text{ cm}]$	$x_P[\pm 0.001 \text{ cm}]$	$m_d[\pm 0.001 \text{ g}]$	$m_c[\pm 0.001 \text{ g}]$
h	1.785	1.780	1.784	4.835	4.835
l_1	1.000	1.000	1.004		
l_2	1.005	1.004	1.004		

2.2.4 Cilindri di ottone e alluminio

Riportiamo l'altezza h , il diametro d e le masse con la medesima indicizzazione già usata.

Ottone 1	$x_{20}[\pm 0.005 \text{ cm}]$	$x_{50}[\pm 0.002 \text{ cm}]$	$x_P[\pm 0.001 \text{ cm}]$	$m_d[\pm 0.001 \text{ g}]$	$m_c[\pm 0.001 \text{ g}]$
h	1.595	1.590	1.595	10.470	10.471
d	0.995	0.995	0.996		
Ottone 2	$x_{20}[\pm 0.005 \text{ cm}]$	$x_{50}[\pm 0.002 \text{ cm}]$	$x_P[\pm 0.001 \text{ cm}]$	$m_d[\pm 0.001 \text{ g}]$	$m_c[\pm 0.001 \text{ g}]$
h	3.740	3.740	–	24.561	24.562
d	0.995	0.992	0.995		
Alluminio 1	$x_{20}[\pm 0.005 \text{ cm}]$	$x_{50}[\pm 0.002 \text{ cm}]$	$x_P[\pm 0.001 \text{ cm}]$	$m_d[\pm 0.001 \text{ g}]$	$m_c[\pm 0.001 \text{ g}]$
h	1.940	1.940	1.942	1.460	1.460
d	0.595	0.590	0.595		
Alluminio 2	$x_{20}[\pm 0.005 \text{ cm}]$	$x_{50}[\pm 0.002 \text{ cm}]$	$x_P[\pm 0.001 \text{ cm}]$	$m_d[\pm 0.001 \text{ g}]$	$m_c[\pm 0.001 \text{ g}]$
h	1.945	1.944	1.946	5.900	5.900
d	1.195	1.192	1.195		

3 Analisi dati

3.1 Metodi di analisi e Calcolo delle incertezze

I dati sono stati elaborati con alcuni script in Python che lasciamo in Appendice A.

Per le sfere occorre calcolare valore medio e incertezza della densità $\rho = \bar{\rho} \pm \sigma_{\bar{\rho}}$. Per una singola misura:

$$\rho = \frac{m}{\frac{1}{6}\pi d^3} \quad \sigma_{\rho} = \rho \sqrt{\left(\frac{\sigma_m}{m}\right)^2 + 9\left(\frac{\sigma_d}{d}\right)^2}$$

A priori, siccome il rapporto tra la risoluzione dello strumento e la misura è di un ordine di grandezza maggiore nel caso del diametro, mi aspetto che il contributo all'incertezza della massa sia trascurabile; uso quindi come ascissa la massa e come ordinata il volume (questo al fine di poter rispettare le ipotesi di utilizzo del metodo dei minimi quadrati). Tuttavia, siccome il calcolo è particolarmente semplice, per l'incertezza complessiva di ρ utilizzo la formula non approssimata, considerando anche il contributo dell'incertezza della massa. Come incertezza per i diametri, uso la risoluzione strumentale divisa per la radice quadrata di 12 nell'ipotesi di probabilità uniforme. Calcoliamo la miglior stima della densità con `scipy.optimize.curve_fit()`, passando come modello la differenza tra il parametro ρ_0 (che ci darà la miglior stima di ρ) e la funzione $\rho - \rho_0$. Come incertezza adottiamo la deviazione standard della media:

$$\sigma_{\bar{\rho}} = \sqrt{\frac{\sum_{i=0}^N (\rho_i - \rho_0)^2}{N - 1}}$$

La legge che ci aspettiamo tra m e d è una legge di potenza:

$$m = \frac{\pi}{6} \rho d^3$$

dunque, dividendo a destra e a sinistra per $m_0 = 1$ g, considerando $d_0 = 1$ cm e estraendo il logaritmo troviamo una relazione lineare tra “il logaritmo della massa” e “il logaritmo del diametro”.

$$\ln \frac{d}{d_0} = -\frac{1}{3} \ln \left(\frac{\pi \rho d_0^3}{6 m_0} \right) + \frac{1}{3} \ln \frac{m}{m_0}$$

Per quanto riguarda i solidi non sferici la situazione è più complicata: i bordi sono smussati, quindi il volume effettivo è minore di quello calcolato. Siccome le incertezze relative sulle masse sono trascurabili rispetto a quelle sui volumi, eseguiamo una regressione ai minimi quadrati ordinari tramite `scipy.optimize.curve_fit()`, usando come ascisse le masse e come ordinate i volumi. Ci aspettiamo che il volume “perso” a causa dei bordi sia dipendente dal solo materiale e sia proporzionale all’intero perimetro del solido. Nel caso del prisma a base esagonale possiamo farne una stima più precisa dalla differenza tra l’apotema e il valore che ci aspetteremmo per l’apotema misurando il raggio della circonferenza inscritta nella base: infatti ci possiamo aspettare che il raggio di curvatura del bordo del solido sullo spigolo sia di

$$r_c \approx \frac{\frac{2\sqrt{3}}{3} d_1 - d_v}{2}$$

Escludendo i termini in r_c^3 , per considerazioni di carattere geometrico, possiamo aspettarci che il volume perso sia:

- per il prisma:

$$\Delta V \simeq \left[(2\sqrt{3} - \pi) h + \sqrt{3} (4 - \pi) d_1 \right] r_c^2$$

- per il cilindro:

$$\Delta V \simeq \frac{1}{2} \pi (4 - \pi) d r_c^2$$

- per il parallelepipedo:

$$\Delta V \simeq (4 - \pi) (h + l_1 + l_2) r_c^2$$

Calcolo il volume (senza la correzione dovuta alla smussatura) con le seguenti formule:

- per il prisma:

$$V = \frac{\sqrt{3}}{2} d_1^2 h \quad \frac{\sigma_V}{V} = \sqrt{4 \left(\frac{\sigma_{d_1}}{d_1} \right)^2 + \left(\frac{\sigma_h}{h} \right)^2}$$

- per il cilindro:

$$V = \frac{\pi}{4} d^2 h \quad \frac{\sigma_V}{V} = \sqrt{4 \left(\frac{\sigma_d}{d} \right)^2 + \left(\frac{\sigma_h}{h} \right)^2}$$

- per il parallelepipedo:

$$V = l_1 l_2 h \quad \frac{\sigma_V}{V} = \sqrt{\left(\frac{\sigma_{l_1}}{l_1} \right)^2 + \left(\frac{\sigma_{l_2}}{l_2} \right)^2 + \left(\frac{\sigma_h}{h} \right)^2}$$

In alcune situazioni non è stato possibile, a causa della massima portata del calibro Palmer, misurare alcune grandezze con tale strumento. Tuttavia le misure effettuate con diversi calibri, per i solidi non sferici non sono compatibili, probabilmente a causa del fatto che la forma dei solidi è soggetta a irregolarità locali e alla risposta del materiale alla pressione dei calibri. Dunque le sensibilità degli strumenti non corrispondono alle incertezze. Adottiamo quindi come incertezze per le lunghezze le deviazione standard sulla media.

3.2 Risultati dell'analisi

3.2.1 Sfere d'acciaio

Codice 1: Output dello script Python.

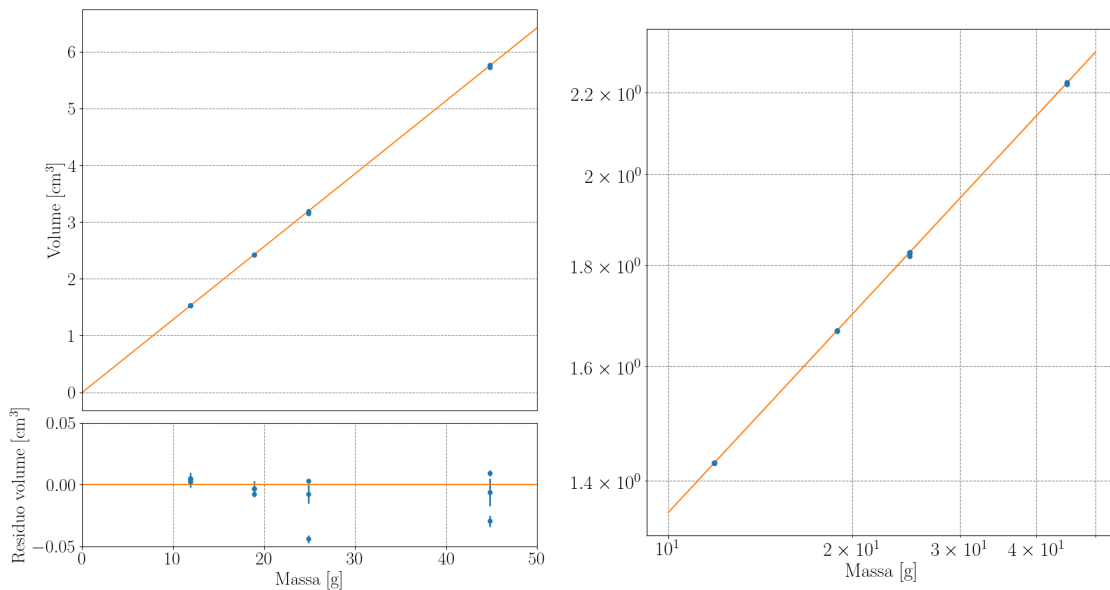
```
#### Fit massa-volume ####
Parametri ottimali: [7.78498088]
Matrici di Covarianza: [[5.67705869e-05]]
Incertezza: [[0.00753463]]

#### Fit massa-diametro ####
Parametri ottimali: [0.62690822 0.33287657]
Matrici di Covarianza: [[ 1.61736611e-06 -7.95783364e-07]
 [-7.95783364e-07 4.02183686e-07]]
Stime per le incertezze: [0.00127176 0.00063418]
Differenza tra 1/3 e index: -0.00045675845574305596
```

La densità trovata

$$\rho_{\text{acc}} = (7.785 \pm 0.008) \text{ g cm}^{-3}$$

è compatibile con quella prevista per l'acciaio. Notiamo anche che l'indice della legge di potenza (0.3329 ± 0.0006) e l'intercetta (0.6269 ± 0.0013) sono compatibili con i risultati aspettati di $\frac{1}{3}$ e 0.6260. I dati in entrambi i grafici si dispongono attorno a rette.



3.2.2 Solidi d'alluminio

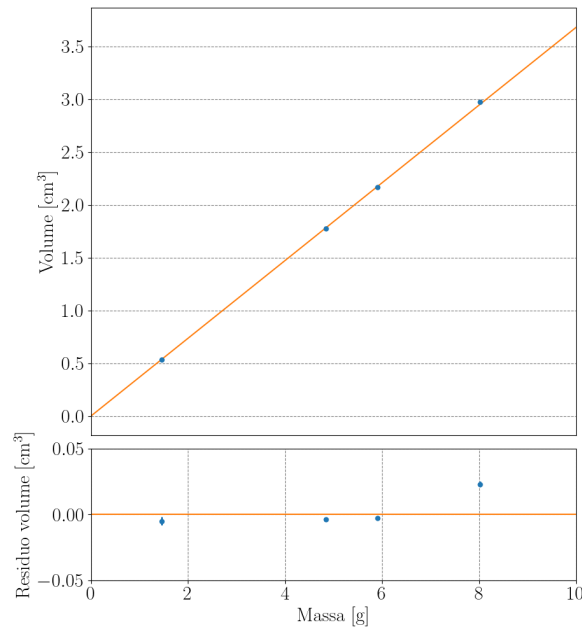
Codice 2: Output dello script Python.

```
#### Fit massa-volume ####
Parametri ottimali: [2.71621882 0.00519642]
Matrici di Covarianza: [[3.56118447e-04 9.19179858e-05]
 [9.19179858e-05 2.74881749e-05]]
Incertezze: [0.0188711 0.00524292]
r +- sr = 0.072086 +- 0.036366
```

La densità trovata

$$\rho_{\text{all}} = (2.716 \pm 0.018) \text{ g cm}^{-3}$$

è compatibile con quella prevista per l'alluminio. I dati in entrambi i grafici si dispongono attorno a rette. Il quadrato del raggio di smussatura dei bordi ($(0.0052 \pm 0.0052) \text{ cm}$) è compatibile con 0, indice del fatto che i solidi non sono perfettamente regolari.



3.2.3 Solidi di ottone

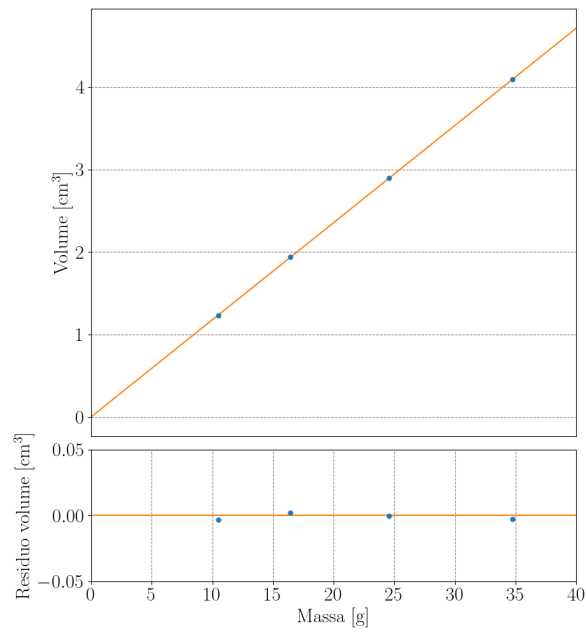
Codice 3: Output dello script Python.

```
#### Fit massa-volume ####
Parametri ottimali: [8.48994481e+00 7.26516515e-03]
Matrici di Covarianza: [[7.11121659e-04 7.33359882e-05]
 [7.33359882e-05 8.11581093e-06]]
Incertezze: [0.02666686 0.00284883]
r +- sr = 0.085236 +- 0.016711
r +- sr = 0.006883 +- 0.000132
```

La densità trovata

$$\rho_{\text{all}} = (8.490 \pm 0.027) \text{ g cm}^{-3}$$

è compatibile con quella prevista per l'ottone. I dati in entrambi i grafici si dispongono attorno a rette. Il quadrato del raggio di smussatura dei bordi ($(0.0052 \pm 0.0052) \text{ cm}$) è compatibile con 0; siccome la radice quadrata, usata per calcolare il primo valore di $r_c = 0.085 \text{ cm}$ da r_c^2 , non è una funzione lipshitziana nell'intervallo contenente 0, l'incertezza associata a tale misura non può essere calcolata tramite la propagazione delle incertezze al primo ordine, quindi il valore dato in output dal programma è privo di significato. Le due stime di r_c sono quindi compatibili. Non entrambe le misure sono compatibili con 0 ed è quindi ragionevole assumere che i bordi siano lievemente smussati (il decimo di millimetro è anche la stima che potevamo immaginarci). L'incertezza dovuta alla stima di r_c ricavata dal fit deriva dall'irregolarità dei solidi; quella per misura diretta dalla natura intrinseca nella propagazione degli errori: stiamo infatti sottraendo quantità molto vicine tra loro.



4 Conclusioni

Abbiamo verificato per i solidi a nostra disposizione, nelle condizioni in cui è stata svolta la prova, il rapporto tra la massa e il volume dipende solo dal materiale.

Si manifesta un errore sistematico sulla misura del volume causato dalle smussature dei bordi e un errore casuale generato dalle irregolarità geometriche degli oggetti in esame; infatti l'incertezza relativa associata alle sferette d'acciaio per cuscinetti è minore di quelle per gli altri due materiali, a causa della maggior precisione nella realizzazione di tali oggetti.

Nel caso delle sferette d'acciaio abbiamo verificato che c'è una legge di potenza tra d e m e che l'indice di questa legge di potenza è compatibile con quello previsto dalla teoria.

Riportiamo le stime delle densità ottenute e quelle aspettate.

	$\rho[\text{g cm}^{-1}]$ misurato	$\sigma_\rho[\text{g cm}^{-1}]$ misurato	$\rho[\text{g cm}^{-1}]$ atteso
Acciaio	7.785	0.008	7480-8000
Alluminio	2.716	0.018	2710
Ottone	8.490	0.027	8400-8700

A Appendice: Codici Python utilizzati

```

1 import numpy as np
2 from scipy.optimize import curve_fit, minimize_scalar
3 from matplotlib import pyplot as plt
4 import math
5
6 plt.rcParams.update({'font.size': 22, 'font.family': 'serif'})
7 plt.rcParams["text.usetex"] = True
8
9 # DATA
10 d = np.array([
11     1.430, 1.430, 1.430,
12     1.430, 1.430, 1.430,
13     1.667, 1.666, 1.667,
14     1.825, 1.818, 1.827,
15     2.223, 2.220, 2.225
16 ])
17 sd = np.array([
18     0.005,0.002,0.001,
19     0.005,0.002,0.001,
20     0.005,0.002,0.001,
21     0.005,0.002,0.001,
22     0.005,0.002,0.001
23 ])/(12.**0.5)
24 m = np.array([
25     11.8795,11.8795,11.8795,
26     11.9005,11.9005,11.9005,
27     18.908,18.908,18.908,
28     24.836,24.836,24.836,
29     44.828,44.828,44.828
30 ])
31 sm = np.array([
32     0.001,0.001,0.001,
33     0.003,0.003,0.003,
34     0.002,0.002,0.002,
35     0.002,0.002,0.002,
36     0.001,0.001,0.001
37 ])/(12.**0.5)
38
39 # FIT massa-volume
40 print(" ### Fit massa-volume ###")
41
42 rho = 6.*m/(math.pi*d**3)
43 srho = rho * ((sm/m)**2+9.*(sd/d)**2)**0.5
44
45 popt,pcov = curve_fit( lambda r,r0: r-r0, rho, np.zeros_like(rho), sigma = srho, bounds
46     =(7.,9.) )
47
48 print("Parametri ottimali: %s" % popt)
49 print("Matrici di Covarianza: %s" % pcov)
50 print("Incertezza: %s" % pcov**0.5 )
51
52 # GRAFICO massa-volume
53 mar_size = 5
54 bar_l = 2
55
56 fig = plt.figure('Grafico volume-massa')
57
58 fig.add_axes((0.15, 0.32, 0.8, 0.65))
59 plt.errorbar(m,math.pi/6.*d**3,sm,math.pi/2.*d**2*sd, fmt='o', markersize=mar_size,
60     linewidth=bar_l)
61 plt.plot((0,50.), (0,50./popt[0]))
62 plt.xlim(0.,50.)
63
64 plt.ylabel(r'Volume [cm$^3$]')
65 plt.gca().get_xaxis().set_visible(False)
66
67 plt.grid(which='both', ls='dashed', color='gray')

```



```

67 fig.add_axes((0.15, 0.1, 0.8, 0.2))
68
69 res = math.pi/6.*d**3 - 1/popt[0]*m
70 plt.errorbar(m,res, xerr=sm, yerr=3.*sd/d*math.pi/6.*d**3, fmt='o', markersize=mar_size
71 , linewidth=bar_l)
72 plt.plot((0,50.),(0,0))
73 plt.grid(which='both', ls='dashed', color='gray')
74 plt.ylabel(r'Residuo volume [cm3g-1'])
75 plt.xlabel(r'Massa [g]')
76 plt.xlim(0.,50.)
77 plt.ylim(-0.05, 0.05)
78
79 plt.show()
80 # FIT massa-diametro
81 print("\n ### Fit massa-diametro ###")
82
83 popt,pcov = curve_fit( lambda m,norm,index: norm*m**index, m, d, sigma=sd )
84
85 print("Parametri ottimali: %s" % popt)
86 print("Matrici di Covarianza: %s" % pcov)
87 print("Stime per le incertezze: %s" % np.sqrt(pcov.diagonal()))
88 print("Differenza tra 1/3 e index: %s" % (popt[1]-1./3.) )
89
90 # GRAFICO massa-diametro
91 fig = plt.figure('Grafico diametro-massa')
92
93 plt.errorbar(m,d,sm,sd, fmt='o', markersize=mar_size, linewidth=bar_l)
94 plt.plot((10,50),(popt[0]*10**popt[1],popt[0]*50**popt[1]))
95
96 plt.xscale('log')
97 plt.yscale('log')
98
99 plt.ylabel(r'Diametro [cm]')
100 plt.xlabel(r'Massa [g]')
101
102 plt.grid(which='both', ls='dashed', color='gray')
103
104 plt.show()

```

Codice 4: Codice per l'analisi dei dati delle sfere d'acciaio.

```

1 import numpy as np
2 from scipy.optimize import curve_fit, minimize_scalar
3 from matplotlib import pyplot as plt
4 import math
5
6 plt.rcParams.update({'font.size': 22, 'font.family': 'serif'})
7 plt.rcParams["text.usetex"] = True
8
9 # DATA
10 #parallelepipedo
11 p1_h = np.array([0.815,0.810])
12 p1_l = np.array([1.835,1.834,1.834])
13 p1_L = np.array([2.010,2.010,2.008])
14 p2_h = np.array([1.785,1.780,1.784])
15 p2_l = np.array([1.000,1.000,1.004])
16 p2_L = np.array([1.005,1.004,1.004])
17 #cilindri
18 c1_h = np.array([1.940,1.940,1.942])
19 c1_d = np.array([0.595,0.590,0.595])
20 c2_h = np.array([1.945,1.944,1.946])
21 c2_d = np.array([1.195,1.192,1.195])
22
23 # MEDIE e COEFF. SMUSSAMENTO
24 def avgstd(x):
25     return x.std() / ( len(x)*(len(x)-1) )**0.5
26
27 p1_hm = p1_h.mean()
28 p1_hs = avgstd(p1_h)

```

```

29
30 p1_lm = p1_l.mean()
31 p1_ls = avgstd(p1_l)
32
33 p1_Lm = p1_L.mean()
34 p1_Ls = avgstd(p1_L)
35
36 p1_p = (4-math.pi)*(p1_hm+p1_lm+p1_Lm)
37 p1_v = p1_hm*p1_lm*p1_Lm
38 p1_vs = ( (p1_hs/p1_hm)**2 + (p1_ls/p1_lm)**2 + (p1_Ls/p1_Lm)**2 )**0.5
39
40
41 p2_hm = p2_h.mean()
42 p2_hs = avgstd(p2_h)
43
44 p2_lm = p2_l.mean()
45 p2_ls = avgstd(p2_l)
46
47 p2_Lm = p2_L.mean()
48 p2_Ls = avgstd(p2_L)
49
50 p2_p = (4-math.pi)*(p2_hm+p2_lm+p2_Lm)
51 p2_v = p2_hm*p2_lm*p2_Lm
52 p2_vs = ( (p2_hs/p2_hm)**2 + (p2_ls/p2_lm)**2 + (p2_Ls/p2_Lm)**2 )**0.5
53
54
55 c1_hm = c1_h.mean()
56 c1_hs = avgstd(c1_h)
57
58 c1_dm = c1_d.mean()
59 c1_ds = avgstd(c1_d)
60
61 c1_p = 0.5*math.pi*(4-math.pi)*c1_dm
62 c1_v = 0.25*math.pi*c1_dm**2*c1_hm
63 c1_vs = ( (c1_hs/c1_hm)**2 + 4*(c1_ds/c1_dm)**2 )**0.5
64
65
66 c2_hm = c2_h.mean()
67 c2_hs = avgstd(c2_h)
68
69 c2_dm = c2_d.mean()
70 c2_ds = avgstd(c2_d)
71
72 c2_p = 0.5*math.pi*(4-math.pi)*c2_dm
73 c2_v = 0.25*math.pi*c2_dm**2*c2_hm
74 c2_vs = ( (c2_hs/c2_hm)**2 + 4*(c2_ds/c2_dm)**2 )**0.5
75
76 # IMPACCHETTAMENTO
77 # x = (m, p), y = v
78 x = (
79     np.array( [ 8.0155, 4.835, 1.460, 5.900 ] ),
80     np.array( [ p1_p, p2_p, c1_p, c2_p ] )
81 )
82 y = np.array( [ p1_v, p2_v, c1_v, c2_v ] )
83 sy = np.array( [ p1_vs, p2_vs, c1_vs, c2_vs ] )
84
85 # FIT massa-volume
86 print(" ### Fit massa-volume ###")
87
88 popt,pcov = curve_fit( lambda x,rho,r2: 1/rho*x[0]+r2*x[1], x, y, sigma = sy )
89
90 print("Parametri ottimali: %s" % popt)
91 print("Matrici di Covarianza: %s" % pcov)
92 print("Incertezze: %s" % pcov.diagonal()*0.5)
93
94 print("r +- sr = %f +- %f" % (popt[1]**0.5,0.5*(pcov[1,1]/popt[1])**0.5))
95
96 # GRAFICO
97 mar_size = 5
98 bar_l = 2

```

```

99
100 fig = plt.figure('Grafico volume-massa')
101
102 fig.add_axes((0.15, 0.32, 0.8, 0.65))
103 plt.errorbar(x[0],y-popt[1]*x[1],0,sy, fmt='o', markersize=mar_size, linewidth=bar_l)
104 plt.plot((0,10.), (0,10./popt[0]))
105 plt.xlim(0.,10.)
106
107 plt.ylabel(r'Volume [cm3'])
108 plt.gca().get_xaxis().set_visible(False)
109
110 plt.grid(which='both', ls='dashed', color='gray')
111
112 fig.add_axes((0.15, 0.1, 0.8, 0.2))
113
114 res = y-popt[1]*x[1] - 1/popt[0]*x[0]
115 plt.errorbar(x[0],res, yerr=sy, fmt='o', markersize=mar_size, linewidth=bar_l)
116 plt.plot((0,10.), (0,0))
117 plt.grid(which='both', ls='dashed', color='gray')
118 plt.ylabel(r'Residuo volume [cm3'])
119 plt.xlabel(r'Massa [g]')
120 plt.xlim(0.,10.)
121 plt.ylim(-0.05, 0.05)
122
123 plt.show()

```

Codice 5: Codice per l'analisi dei dati dei solidi in alluminio.

```

1 import numpy as np
2 from scipy.optimize import curve_fit, minimize_scalar
3 from matplotlib import pyplot as plt
4 import math
5
6 plt.rcParams.update({'font.size': 22, 'font.family':'serif'})
7 plt.rcParams["text.usetex"] = True
8
9 # DATA
10 #parallelepipedo
11 p1_h = np.array([4.150,4.148])
12 p1_l = np.array([0.995,1.000,0.996])
13 p1_L = np.array([0.995,1.000,0.998])
14
15 #prismi
16 p2_h = np.array([2.275,2.270,2.273])
17 # 988 o 998?
18 p2_l = np.array([0.995,0.998,0.994,
19                 0.995,0.998,0.996,
20                 0.995,0.998,0.996])
21 p2_dv = np.array([1.135,1.136,1.139,
22                  1.137,1.137,1.138,
23                  1.135,1.134,1.137])
24
25 #cilindri
26 c1_h = np.array([1.595,1.590,1.595])
27 c1_d = np.array([0.995,0.995,0.996])
28 c2_h = np.array([3.740,3.740])
29 c2_d = np.array([0.995,0.992,0.995])
30
31 # MEDIE e COEFF. SMUSSAMENTO
32 def avgstd(x):
33     return x.std() / ( len(x)*(len(x)-1) )**0.5
34
35 p1_hm = p1_h.mean()
36 p1_hs = avgstd(p1_h)
37
38 p1_lm = p1_l.mean()
39 p1_ls = avgstd(p1_l)
40
41 p1_Lm = p1_L.mean()
42 p1_Ls = avgstd(p1_L)

```

```

43
44 p1_p = (4-math.pi)*(p1_hm+p1_lm+p1_Lm)
45 p1_v = p1_hm*p1_lm*p1_Lm
46 p1_vs = ( (p1_hs/p1_hm)**2 + (p1_ls/p1_lm)**2 + (p1_Ls/p1_Lm)**2 )**0.5
47
48
49 p2_hm = p2_h.mean()
50 p2_hs = avgstd(p2_h)
51
52 p2_lm = p2_l.mean()
53 p2_ls = avgstd(p2_l)
54
55 p2_dvm = p2_dv.mean()
56 p2_dvs = avgstd(p2_dv)
57
58 p2_p = (2*3.**0.5-math.pi)*p2_hm+3.**0.5*(4-math.pi)*p2_lm
59 p2_v = 0.5*3.**0.5*p2_lm**2*p2_hm
60 p2_vs = ( 4*(p2_ls/p2_lm)**2 + (p2_hs/p2_hm)**2 )**0.5
61
62
63 c1_hm = c1_h.mean()
64 c1_hs = avgstd(c1_h)
65
66 c1_dm = c1_d.mean()
67 c1_ds = avgstd(c1_d)
68
69 c1_p = 0.5*math.pi*(4-math.pi)*c1_dm
70 c1_v = 0.25*math.pi*c1_dm**2*c1_hm
71 c1_vs = ( (c1_hs/c1_hm)**2 + 4*(c1_ds/c1_dm)**2 )**0.5
72
73
74 c2_hm = c2_h.mean()
75 c2_hs = avgstd(c2_h)
76
77 c2_dm = c2_d.mean()
78 c2_ds = avgstd(c2_d)
79
80 c2_p = 0.5*math.pi*(4-math.pi)*c2_dm
81 c2_v = 0.25*math.pi*c2_dm**2*c2_hm
82 c2_vs = ( (c2_hs/c2_hm)**2 + 4*(c2_ds/c2_dm)**2 )**0.5
83
84
85 # IMPACCHETTAMENTO
86 # x = (m, p), y = v
87 x = (
88     np.array( [ 34.7375, 16.4245, 10.4705, 24.5615 ] ),
89     np.array( [ p1_p, p2_p, c1_p, c2_p ] )
90 )
91 y = np.array( [ p1_v, p2_v, c1_v, c2_v ] )
92 sy = np.array( [ p1_vs, p2_vs, c1_vs, c2_vs ] )
93
94 # FIT massa-volume
95 print(" ### Fit massa-volume ###")
96
97 popt,pcov = curve_fit( lambda x,rho,r2: 1/rho*x[0]+r2*x[1], x, y, sigma = sy )
98
99 print("Parametri ottimali: %s" % popt)
100 print("Matrici di Covarianza: %s" % pcov)
101 print("Incertezze: %s" % pcov.diagonal()*0.5)
102
103 print("r +- sr = %f +- %f" % (popt[1]**0.5,0.5*(pcov[1,1]/popt[1])**0.5))
104 print("r +- sr = %f +- %f" % (0.5*(2./3.**0.5*p2_lm-p2_dvm),(1/3.*p2_ls**2+0.25*p2_dvs
    **2)**0.5))
105
106 # GRAFICO
107 mar_size = 5
108 bar_l = 2
109
110 fig = plt.figure('Grafico volume-massa')
111

```

```
112 fig.add_axes((0.15, 0.32, 0.8, 0.65))
113 plt.errorbar(x[0],y-popt[1]*x[1],0,sy, fmt='o', markersize=mar_size, linewidth=bar_l)
114 plt.plot((0,40.), (0,40./popt[0]))
115 plt.xlim(0.,40.)
116
117 plt.ylabel(r'Volume [cm3'])
118 plt.gca().get_xaxis().set_visible(False)
119
120 plt.grid(which='both', ls='dashed', color='gray')
121
122 fig.add_axes((0.15, 0.1, 0.8, 0.2))
123
124 res = y-popt[1]*x[1] - 1/popt[0]*x[0]
125 plt.errorbar(x[0],res, yerr=sy, fmt='o', markersize=mar_size, linewidth=bar_l)
126 plt.plot((0,40.), (0,0))
127 plt.grid(which='both', ls='dashed', color='gray')
128 plt.ylabel(r'Residuo volume [cm3'])
129 plt.xlabel(r'Massa [g]')
130 plt.xlim(0.,40.)
131 plt.ylim(-0.05, 0.05)
132
133 plt.show()
```

Codice 6: Codice per l'analisi dei dati dei solidi in ottone.